



## БИООРГАНИЧЕСКАЯ ХИМИЯ

mom 14 \* №12 \* 1988

УДК 577.143.4

## СИНТЕЗ И СВОЙСТВА ДНК-ДУПЛЕКСОВ, СОДЕРЖАЩИХ УГЛЕВОДОРДНЫЕ МОСТИКИ ВМЕСТО ОДНОГО ИЗ НУКЛЕОЗИДНЫХ ОСТАТКОВ

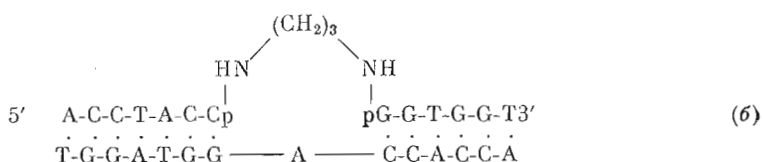
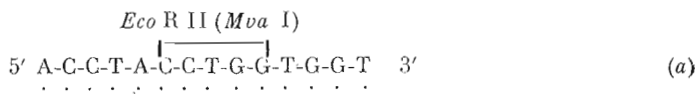
*Кузнецова С. А., Волков Е. М., Громова Е. С.,  
Потапов В. Е., Шабарова З. А.*

*Московский государственный университет им. М. В. Ломоносова,  
химический факультет*

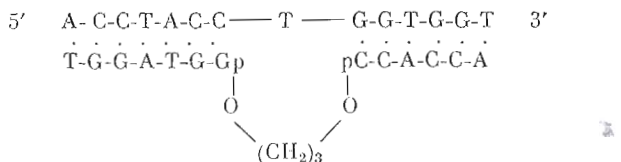
Описано получение синтетических ДНК-дуплексов, в которых остатки 1,3-пропициола или 1,3-даминоизопропана заменяют нуклеозидное звено в одной из комплементарных цепей дуплекса. Методами КД и УФ-спектроскопии показано, что внесенные модификации приводят к дестабилизации дуплексов на 18–20° С. Синтезированные дуплексы являются аналогами субстратов эндоуклеаз рестрикции *EcoRII* и *MvaI*.

Модифицированные ДНК-дуплексы, содержащие вместо одного из нуклеозидных остатков гибкую цепочку из нескольких метиленовых звеньев представляют интерес как аналоги фрагментов ДНК, в которых частично сохраняется углеводофосфатный остов, но удаляется гетероциклическое основание. Встроенное звено не участвует в межплоскостных и уотсон-криковских взаимодействиях и обладает большей конформационной подвижностью. Недавно нами был описан синтез такого рода структур с использованием метода химического лигирования — конденсации олигонуклеотидных блоков на комплементарной матрице [1, 2]. Одновременно в литературе появились сообщения о синтезе олигонуклеотидов с встроенным в сахарофосфатный остов вместо остатков dA или dT 1,3-пропандиолом (мостиковой структурой), полученных прямым синтезом [3, 4]. Однако авторы работ [3, 4] встраивали остаток 1,3-пропандиола в самокомплементарные олигонуклеотиды, и в растворе полученные соединения с пропиленовым мостиком проявляли высокую тенденцию к образованию внутримолекулярных шпилечных структур; получить межмолекулярные ДНК-дуплексы им не удалось.

Целью настоящей работы явился синтез и изучение физико-химических свойств ДНК-дуплексов, содержащих участок узнавания эндонуклеаз рестрикции *EcoRII* и *MvaI* CC(A/T)GG, в которых одно из нуклеозидных звеньев заменено на остаток 1,3-пропилендиамина (*б*) или 1,3-пропандиола (*в*):



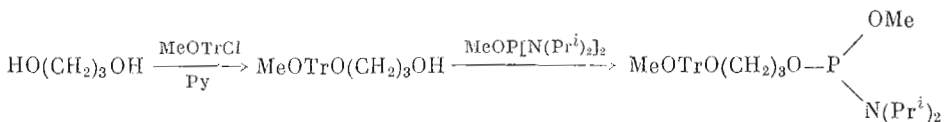
Индекс «d» (дезокси) в изображении дезоксирибонуклеотидов опущен.



Замену проводили как в «верхней», так и в «нижней» цепи участка узнавания. Указанные модификации дают возможность выявить роль каждого из оснований в центральной вырожденной нуклеотидной паре участка узнавания во взаимодействии с указанными ферментами. Для такого рода исследований необходима информация о влиянии пропиленового мостика на устойчивость и конформацию двойной спирали, в связи с чем в данной работе изучено плавление модифицированных ДНК-дуплексов и их оптическая активность в условиях проведения ферментативных реакций.

Синтез немодифицированных тетрадекануклеотидов ACCCTACCTGGT-GGT (I) и ACCACCAGGTAGGT (II), входящих в состав дуплекса (a), а также представляющих соответственно верхнюю и нижнюю цепи дуплексов (e) и (б), был осуществлен ранее фосфотриэфирным методом в растворе [5]. ДНК-дуплекс (б) был получен по описанной ранее методике [1, 2] путем химического лигирования олигонуклеотидов ACCTACCPNH-(CH<sub>2</sub>)<sub>3</sub>NH<sub>2</sub> (III) с имидазолидом или N-оксибензотриазоловым эфиrom гексануклеотида pGGTGGT (IV) на комплементарной матрице (II).

Модифицированный олигонуклеотид ACCACCP(O(CH<sub>2</sub>)<sub>3</sub>OPGGTAGGT) (V), входящий в состав дуплекса (e), был синтезирован твердофазным методом по фосфитамидной схеме. Фосфитамидный метод синтеза позволяет встраивать остаток 1,3-пропандиола в структуру сахарофосфатного остова олигодезоксирибонуклеотида в отсутствие комплементарной матрицы. Это является в данном случае важным преимуществом, поскольку синтез аналогичных олигонуклеотидов методом химического лигирования протекает со сравнительно низкой эффективностью [2]. Наращивание цепи осуществляли по стандартной методике на синтезаторе «Виктория-4М» [6]. Для введения триметиленового звена в качестве фосфитамидного компонента использовали 1-O-монометокситритил-3-O-(N,N-дизопропиламино)метилфосфит пропиленгликоля [7], полученный по схеме



1-Монометокситритилпропандиол выделен с выходом 70%, фосфитамидная группа введена по стандартной методике [7] без дополнительной очистки с выходом 95%. Структура соединений доказана методом ИК- и ПМР-спектроскопии. Нуклеотидную последовательность соединения (V) подтверждалась по методу Максама — Гилберта [8]. В качестве примера на рис. 1 представлен радиоавтограф гель-электрофорограммы, полученный при секвенировании тридекануклеотида (V). Как видно из рис. 1, в месте введения триметиленового звена отсутствует радиоактивность во всех четырех колонках геля. Поэтому нуклеотидная последовательность модифицированного олигонуклеотида читается как последовательность аналогичного немодифицированного тридекануклеотида. При обработке 5'-<sup>32</sup>P-меченого (V) ФДЭ змеиного яда (КФ 3.1.4.1) протекал его неполный гидролиз; наряду с мононуклеотидом <sup>32</sup>pA образуется промежуточное соединение с подвижностью в ПААГ, соответствующей гексануклеотиду <sup>32</sup>pACCACCP(O(CH<sub>2</sub>)<sub>3</sub>OH, который был получен нами встречным синтезом. Гидролиз проводили с использованием минимальной концентрации ФДЭ, при которой немодифицированный олигонуклеотид (II) гидролизуется полностью. Наличие триметиленового звена в олигонуклеотиде (V) подтверждалось также путем его исчерпывающего гидролиза смесью ФДЭ и фосфатазы (рис. 2) с последующим анализом гидролизата обращенно-фазовой ВЭЖХ. В качестве контроля брали смесь нуклеозидов в соотношениях, соответствующих структуре аналогичного немодифицированного три-

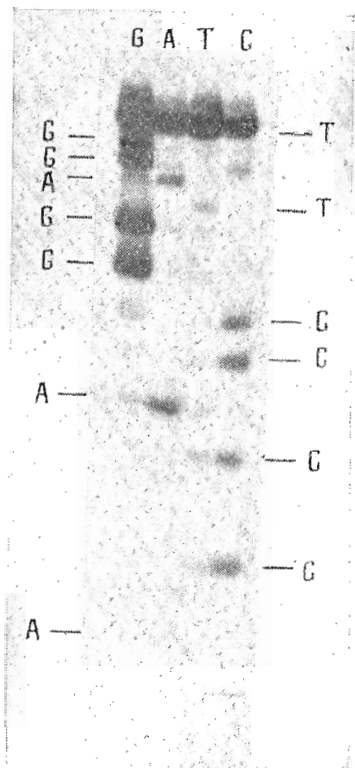


Рис. 1

Рис. 1. Анализ методом Максама – Гилберта нуклеотидной последовательности  $\text{ACCACCCpO}(\text{CH}_2)_3\text{OpGGTAGGT}$  (V). Электрофорез в 20% ПААГ в 7 М мочевине

Рис. 2. Анализ нуклеозидного состава  $\text{ACCACCCpO}(\text{CH}_2)_3\text{OpGGTAGGT}$  (V). Профиль элюции продуктов исчерпывающего гидролиза олигонуклеотида (V) смесью ФДЭ зменишего яда и фосфатазы (a); контрольная смесь нуклеозидов в соотношении, отвечающем немодифицированному тридекануклеотиду  $\text{ACCACCCGTTAGGT}$  (б); гидролизат олигонуклеотида (V) +  $d\ddot{\text{C}}$  (с);  $d\ddot{\text{C}}$  – гидроксипропиловый эфир дезоксицитидин-3'-фосфата. Анализ проводили методом обращенно-фазовой ВЭЖХ на хроматографе «Tgasor» (Нидерланды) на колонке Ultrasphere TM-octyl (5 мкм, 4,6 мм  $\times$  25 см) в линейном градиенте концентрации метанола (0,00–0,40 M), содержащего 0,1 M ацетат аммония. Скорость элюции 1 мл/мин

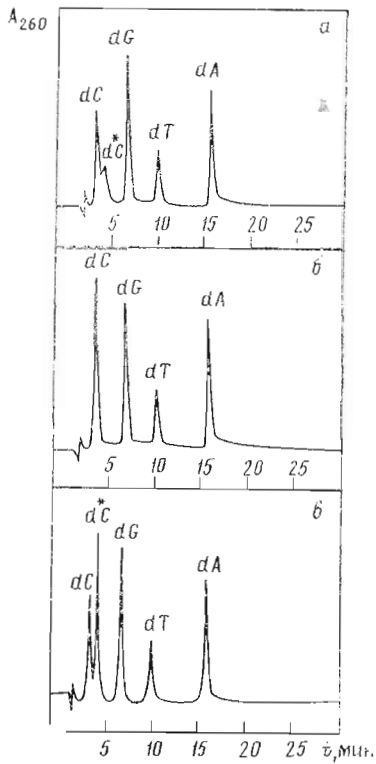


Рис. 2

декануклеотида. В результате гидролиза одновременно с уменьшением высоты пика, соответствующего цитозину, появляется новый пик, идентичный по подвижности с синтезированным нами оксипропиловым эфиром цитидин-3'-фосфата (рис. 2). Аналогичный результат был получен в работе [3].

Для оценки влияния введенных модификаций на структуру двойной спирали в ДНК-дуплексах (б) и (с) были использованы методы УФ-спектроскопии и КД. Хотя эти методы не позволяют охарактеризовать локальные возмущения, вносимые остатками пропилендиамина или пропиленгликоля, они дают возможность выяснить, как влияют модификации на геометрию и термодинамические параметры дуплекса в целом.

На рис. 3 приведены кривые зависимости оптического поглощения от температуры для полученных дуплексов. Значения гипохромии комплексообразования,  $h$ , вместе с расчетными значениями  $\Delta H^\circ$  суммированы в таблице.

Форма кривых плавления (как в интегральном, так и в дифференциальном виде) свидетельствует об образовании во всех случаях комплементарных комплексов. Характер кривых плавления – однофазность и достаточно высокая кооперативность – свидетельствуют об отсутствии в этом случае шпилечных структур, которые, как отмечалось выше, образовыва-

### Некоторые характеристики синтетических дуплексов

Дуплекс	<i>h</i> , %	т.пл. °С	$\Delta H^\circ$ , кДж/моль
<i>a</i>	14±1	53±1	-483,6±5
<i>b</i>	14±1	35±1	-194,5±5
<i>c</i>	13±1	33±1	-132,5±5

лись в самокомплементарных олигонуклеотидах с триметиленовым мостиком [3]. Видно, что замена одного нуклеозидного звена в одной из цепей дуплекса (*a*) на остатки пропилендиамина (дуплекс (*b*)) или пропиленгликоля (дуплекс (*c*)) приводит к их дестабилизации на 18–20° С (рис. 3, таблица). Результат не является неожиданным, так как при таких заменах нарушаются уотсон-криковские взаимодействия и увеличивается конформационная подвижность групп атомов, прилегающих к модифицированному узлу. Кроме того, введение гидрофобного радикала изменяет полярность окружения оснований и фосфатных групп и также ведет к дестабилизации двойной спирали [9, 10]. Аналогичный эффект был отмечен при изучении комплексообразования комплементарных олигонуклеотидов, в которых одно нуклеозидное звено было заменено на 1,2-дизокси-*D*-рибофуранозу и 1,2-дизокси-1-фенил-β-*D*-рибофуранозу [11]. Следует отметить, что наблюдаемое нами понижение температуры плавления (таблица) является дополнительным доказательством существования гетеродуплексов (*b*) и (*c*), так как в случае образования шипилек температура плавления, напротив, должна повышаться [3].

Как уже отмечалось нами ранее [5], вид спектра КД немодифицированного дуплекса (*a*) отклоняется от канонического вида В-формы ДНК: увеличивается амплитуда положительной полосы КД, точка нулевого перехода смешена в коротковолновую область. На основании этого и результатов изучения олигонуклеотидных дуплексов с  $\text{---G---G---}$  кластерами  $\text{---C---C---}$

методом рентгеноструктурного анализа [12] было сделано предположение об А-подобной конформации дуплекса (*a*). Как видно из рис. 4 (кривая 1), амплитуда положительной и отрицательной полос КД модифицированного дуплекса (*c*) меньше амплитуды соответствующих полос дуплекса (*a*). Кроме того, появляется плечо в области 285 нм. Эти изменения, по-видимому, обусловлены увеличением конформационной подвижности групп атомов в центральной части молекулы за счет введения гибкого триметиленового звена. Тем не менее в целом вид спектра КД модифицированного двухспирального комплекса (*c*) напоминает соответствующий спектр комплекса (*a*). С увеличением температуры спектры КД дуплексов (*a*) и (*c*) изменяются (рис. 4). При температуре 32° С (ниже т. пл.) эти изменения еще невелики. При повышении температуры до 67° С, когда уже полностью завершен переход спираль — клубок, резко понижается амплитуда эффектов Коттона в области 220–300 нм для обеих систем, причем в спектре КД системы (*c*) сглаживается плечо, и спектры (*a*) и (*c*) становятся похожими.

Таким образом, нами было впервые показано, что при взаимодействии комплементарных олигонуклеотидов, один из которых несет вместо нуклеозидного звена ( $\text{CH}_2$ )<sub>3</sub>-мостик, образуется обычный двухспиральный комплекс. Введение углеводородного мостика приводит к значительной дестабилизации ДНК-дуплекса. В связи с этим изучение субстратных свойств таких систем следует проводить при более низких температурах. Кроме того, используя эти дуплексы как ануриновые (апиримидиновые) аналоги ДНК, следует иметь в виду, что внесенные модификации, по-видимому, не приводят к существенному искажению геометрии двойной спирали в целом, за исключением локального увеличения конформационной подвижности молекулы.

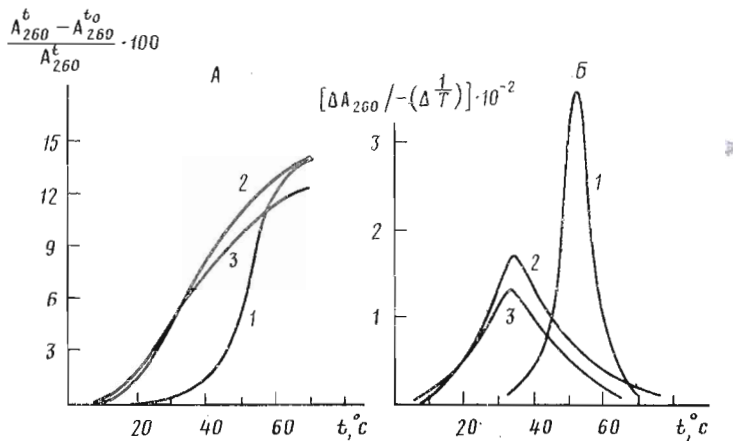


Рис. 3. Кривые плавления дуплексов (а) – 1, (б) – 2 и (в) – 3 в интегральной (А) и дифференциальной (Б) формах. Условия см. в «Экспериментальной части»

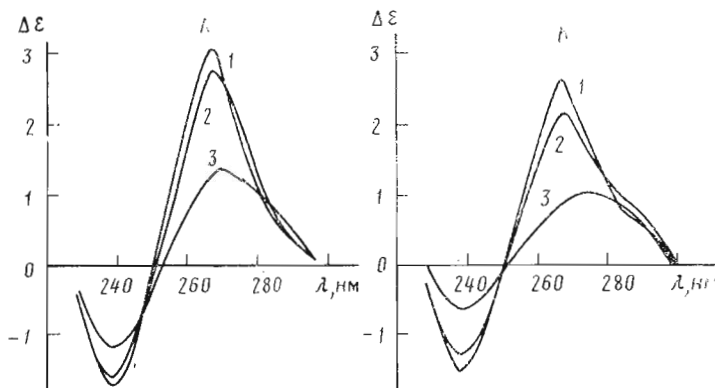


Рис. 4. Спектры КД дуплексов (а) – А и (в) – Б при температурах 7 (1), 32 (2), 67 °С (3). Условия см. в «Экспериментальной части»

### Экспериментальная часть

В работе использовали 2'-дезоксициуклеозиды и силикагель марки «Силохром С-80» отечественного производства, N-метилимидазол, триизопропилбензольсульфонилхлорид, тетразол, амциопропильтриэтиоксисилен, trimethylchlorosilane, N-этилдинизопропиамин (Fluka, Швейцария).

В работе использовали T4-полинуклеотидкиназу (НПО «Фермент», Вильнюс), фосфодиэстеразу змеиного яда (Worthington Biochemical Corp., США), фосфомоноктеразу (Sigma, США), 1,3-пропандиол (Ferak, ФРГ), [ $\gamma$ -<sup>32</sup>P]ATP с удельной активностью 1000 Ки/ммоль (В/О «Изотоп»).

Подготовку растворителей и модификацию полимерного носителя осуществляли согласно [6].

*Синтез гидроксипропилового эфира дезоксирибоцитидин-3'-фосфата* осуществляли на силикагеле «Силохром С-80». В качестве первого звена на полимер присоединяли остаток 1-монометокситритиимпропандиола по методике [6]. Затем после удаления монометокситритильной группы к полимеру присоединяли остаток дезоксирибоцитидина по стандартной фосфитамидной методике [6]. Выход гидроксипропилового эфира дезоксирибоцитидин-3'-фосфата составил 80%.  $R_f$  0,62 (ТСХ на целлюлозе, этанол – 1 М ацетат аммония, pH 7,5).  $R_f$  0,76 (ТСХ на целлюлозе, n-пропанол – аммиак – вода, 55 : 10 : 35). При анализе методом ВЭЖХ гидроксипропиловый эфир дезоксирибоцитидин-3'-фосфата (условия см. в подписи к рис. 2) имеет место выхода непосредственно за дезоксирибоцитидипом.

*Синтез гидроксипропилового эфира гексануклеотида ACCACCCpO(CH<sub>2</sub>)<sub>3</sub>OH* осуществляли на автоматическом синтезаторе «Виктория 4М» на силикагеле «Силохром С-80». В качестве первого звена на полимер присоединяли остаток 1-монометокситритиимпропандиола по методике [6]. Дальнейшее наращивание цепи проводили как в работе [6].

1-O-Монометокситритид-3-O-(N, N-диизопропиламино)метилфосфит пропиленгли-

коля. Смесь 3,08 г (10 ммоль) монометокситритилюксорида и 2,2 мл (30 ммоль) 1,3-пропиленгликоля в 10 мл абс. пиридина выдерживали 3 ч при 20° С. После упаривания пиридина смесь растворяли в 100 мл хлороформа и экстрагировали избыток 1,3-пропиленгликоля водой (3×50 мл), органический слой сушили  $\text{Na}_2\text{SO}_4$ .

1-Монометокситритилюксориол выделяли колоночной хроматографией на силикагеле, используя в качестве элюента хлороформ. После упаривания растворителя продукт перекристаллизовывали из пентана. Выход 2,5 г (70%).  $R_f$  0,29 (силифол,  $\text{CH}_2\text{Cl}_2$ ). ПМР ( $\delta$ ,  $\text{CCl}_4$ ): 1,65 (2Н, тт,  $\text{CH}_2$ ,  $J$  6,0 Гц); 2,0 (1Н, с,  $\text{OH}$ ); 3,12 (2Н, т,  $\text{CH}_2$ ,  $J$  6,0 Гц); 3,53 (2Н, т,  $\text{CH}_2$ ,  $J$  6,0 Гц); 3,62 (3А, с,  $\text{OCH}_3$ ); 6,5–7,4 (14Н, м, Ar).

1-Монометокситритилюксориол (348 г, 1 ммоль) после высушивания в вакууме растворяли в 5 мл абс. хлористого метилена и прибавляли 86 мг (0,15 ммоль) тетразолида динизопропиляммония и 326 мкл (1,2 ммоль) бис(Н, N-динизопропилямидо)метилфосфита. Реакцию проводили 1 ч при 20° С и далее обрабатывали реакционную смесь согласно работе [7]. Полученный фосфитамид без дополнительной очистки использовали в синтезе олигонуклеотида (V) в виде 0,1 М раствора в ацетонитриле. УФ (Е1ОН):  $\lambda_{\text{max}}$  230,5 нм,  $\lambda_{\text{min}}$  223 нм.  $R_f$  в  $\text{CH}_2\text{Cl}_2$  (2%  $\text{Et}_3\text{N}$ ) при ТСХ на силифоле (ЧССР) 0,32.

Тридекануклеотид  $\text{ACCACCP(O(CH_2)_2OpAGGTAGGT(V)}$  получали на силикагеле «Силохром С-80» (20 мг) с загрузкой первым нуклеозидом 46 мкмоль/г. Выход продукта (V) составил 19 или 89% на стадию. Реакция с модифицированным звеном проходила с тем же выходом (90%), что и с обычными фосфитамидными компонентами. Удаление запитных групп осуществляли согласно [6].

Выделение олигонуклеотида (V), содержащего монометокситритильную группу, проводили обращенно-фазовой ВЭЖХ на приборе Altex (США), носитель – Lichrosorb C-18 (10 мкм), размер колонки 4,6×250 мм в градиенте концентрации ацетонитрила 0–40% в 0,05 М ацетате аммония, скорость элюции 1 мл/мин. Монометокситритильную группу удаляли 80% уксусной кислотой и олигонуклеотид выделяли электрофорезом в 20% ПААГ в 7 М мочевине.

Изучение образования комплексов олигонуклеотидами проводили в 0,04 М трибуферном (рН 7,6), содержащем 0,05 М  $\text{NaCl}$ , 5 мМ  $\text{MgCl}_2$ , 7 мМ  $\beta$ -меркаптоэтанол. Концентрация олигонуклеотида на мономерное звено ( $c_0$ ) составляла 0,3 мМ. Температурную зависимость УФ-поглощения комплексов измеряли на спектрофотометре Cary-219 (США) при непрерывном повышении температуры со скоростью 0,5° С в 1 мин. Гипохимию комплексообразования определяли из кривых плавления согласно следующему уравнению:

$$h = \frac{A_{260}^t - A_{260}^{t_0}}{A_{260}^t} \cdot 100,$$

где  $A_{260}^t$  и  $A_{260}^{t_0}$  – поглощение раствора при температурах  $t$  и  $t_0$  в ° С соответственно ( $\lambda$  260 нм). Значения энталпии комплексообразования и температуры плавления рассчитывали по формулам

$$\Delta H^0 = - \frac{18,28}{\frac{1}{T_{1/2}} - \frac{1}{T_{3/4}}} \quad \text{и т. п.} = T_{1/2} \cdot \left( 1 - \frac{T_{1/2}}{\Delta H^0} \right),$$

где  $T_{1/2}$  и  $T_{3/4}$  – температура в кельвинах в максимуме дифференциальной кривой и в точке, при которой  $\Delta A/\Delta(T^{-1})$  опустилась на половину максимальной величины соответственно.

Спектры КД регистрировали на дихромографе «Roussel Jouan III» (Франция). Данные КД выражены в виде разности циркулярно-дихроичного поглощения

$$\Delta \varepsilon = \varepsilon_l - \varepsilon_r = \frac{\Delta A}{c_0 l},$$

где  $\varepsilon_l$  и  $\varepsilon_r$  – молярные коэффициенты поглощения левой и правой циркулярно-поляризованных форм света соответственно,  $\Delta A$  – оптическое поглощение КД,  $c$  – концентрация (М),  $l$  – длина оптического пути (см), чувствительность измерений 5·10<sup>-6</sup> ОЕ/мм.

Зависимость УФ-поглощения и КД от температуры изучали в термостатируемых кварцевых кюветах фирмы «Hellma» (ФРГ) с длиной оптического пути 1 мм.

## ЛИТЕРАТУРА

- Кузнецова С. А., Готтих М. Б. // 7 Респ. конф. молодых ученых-химиков. Тез. докл. Ч. 1. Таллин, 1987. С. 44.
- Кузнецова С. А., Ивановская М. Г., Готтих М. Б., Елов А. А., Шабарова З. А. // Биоорганская химия. 1988. Т. 14. № 4. С. 490–499.
- Seela F., Kaiser K. // Nucl. Acids Res. 1987 V. 15. № 7. P. 3113–3129.
- Seela F., Kaiser K. // Nucleosides and Nucleotides. 1987. V. 6. № 1–2. P. 447–450.
- Кузнецова С. А., Кубарева Е. А., Орецкая Т. С., Долинная Н. Г., Крынечкая Н. Ф., Громова Е. С., Шабарова З. А., Цех Д. // Биополимеры и клетка. 1987. Т. 3. № 6. С. 283–289.

6. Гризлов С. М., Чернов И. П., Потапов В. К., Пурмаль А. А., Мегелев В. Г., Елов А. А., Шабаров З. А. // Биоорганическая химия. 1986. Т. 12. № 12. С. 1604—1611.
7. Barone A. D., Tang I. Y., Caruthers M. H. // Nucl. Acids Res. 1984. V. 12. № 12. P. 4051—4061.
8. Maxam A. M., Gilbert W. // Proc. Nat. Acad. Sci. USA. 1977. V. 74. № 2. P. 560—564.
9. Смирнов В. В., Громова Е. С., Неведомцева Н. Н., Шабарова З. А., Прокофьев М. А. // Молекулярная биология. 1978. Т. 12. № 2. С. 429—442.
10. Гагинская Л. Г., Смирнов В. В., Соколова Н. Н., Шабарова З. А., Прокофьев М. А. // Докл. АН СССР. 1973. Т. 212. № 2. С. 363—366.
11. Millican T. A., Mock G. A., Chauncey M. A., Patel T. P., Eaton M. A. W., Gunning J., Gutbush S. D., Neidle S., Mann J. // Nucl. Acids Res. 1984. V. 12. № 19. P. 7435—7453.
12. Shakked Z., Rabinovich D. // J. Mol. Biol. 1983. V. 166. № 2. P. 183—201.

Поступила в редакцию  
28.III.1988

## SYNTHESIS AND PROPERTIES OF DNA DUPLEXES CONTAINING HYDROCARBON BRIDGES INSTEAD OF A NUCLEOSIDE RESIDUE

KUZNETSOVA S. A., VOLKOV E. M., GROMOVA E. S., POTAPOV V. K., SHABAROVA Z. A.

*Department of Chemistry, M. V. Lomonosov State University, Moscow*

DNA duplexes 14 bp long containing an *EcoRII* and *MvaI* restriction site in which a nucleoside is substituted by 1,3-diaminopropane or 1,3-propanediol residue have been chemically synthesized. Diaminopropane bridge was introduced by the chemical ligation, whereas the oligonucleotide containing propanediol was prepared by automatic solid phase phosphoroamidite method on «Victoria-4M» synthesizer. As CD and UV spectra show, the modification destabilises the duplex by 18—20°C without essential distortion of the double helix, except for increase of the conformational mobility in the modified site.